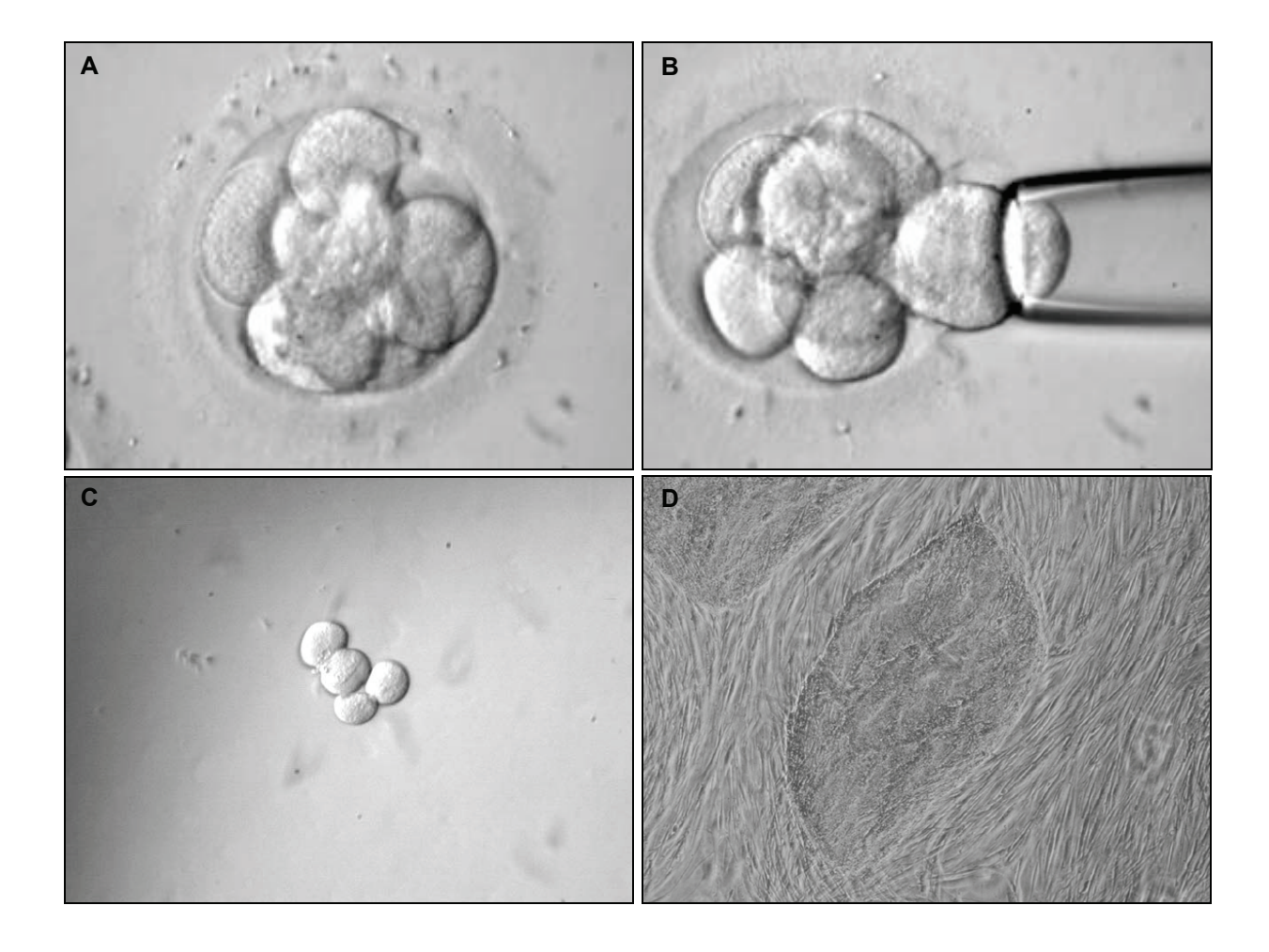


# **ANEXO**



# **MORFOLOGÍA DE VAL-10B**

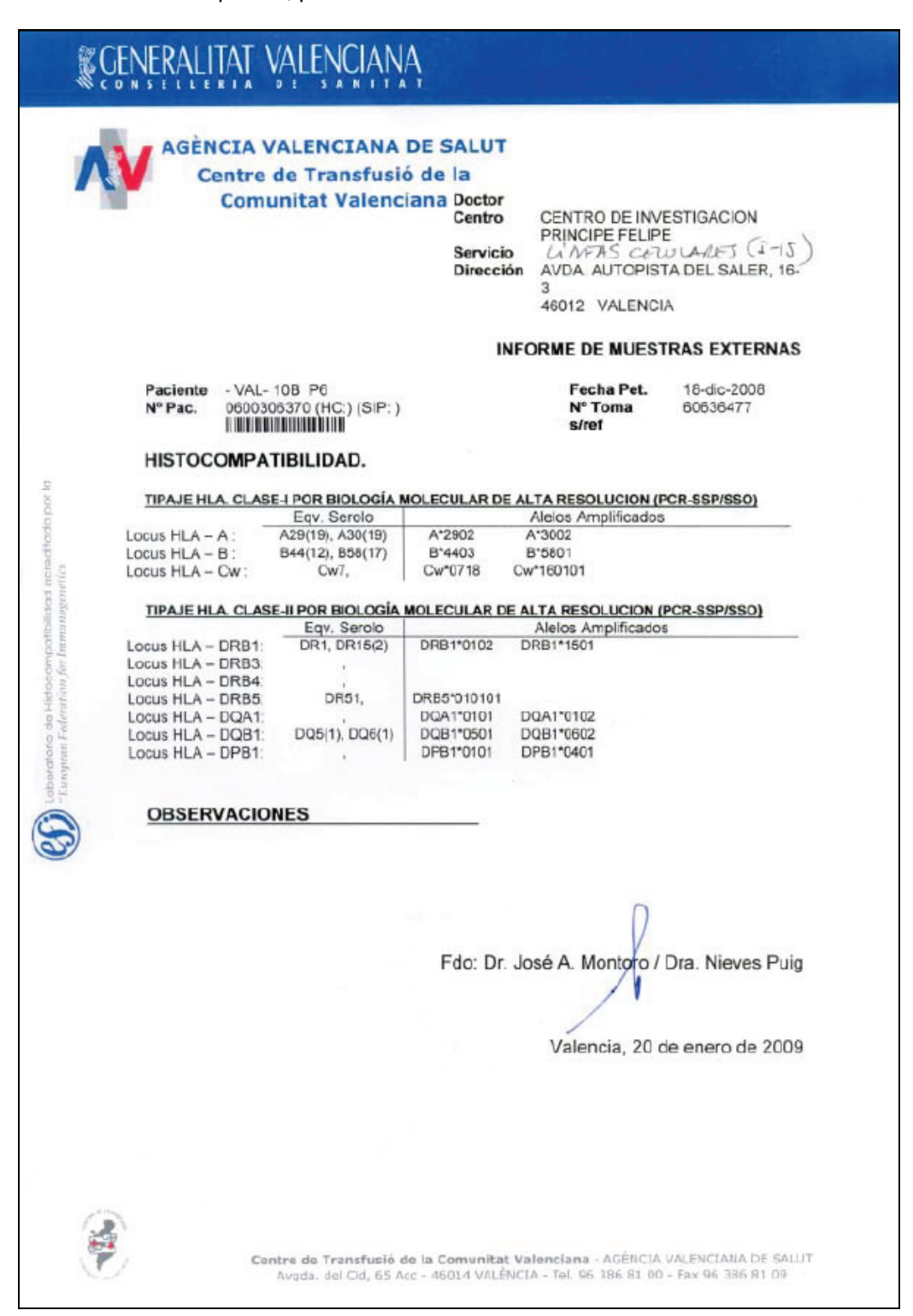
(A) Embrión en estadío de 7 células en día 3 de desarrollo (40x), (B) biopsia de blastómera, (C) blastómera dividida (20x), (D) morfología típica colonias de VAL-10B (4x).





# **TIPIFICACIÓN HLA DE VAL-10B**

Llevado a cabo en el pase 6, por el Centro de Transfusiones de la Comunidad Valenciana.

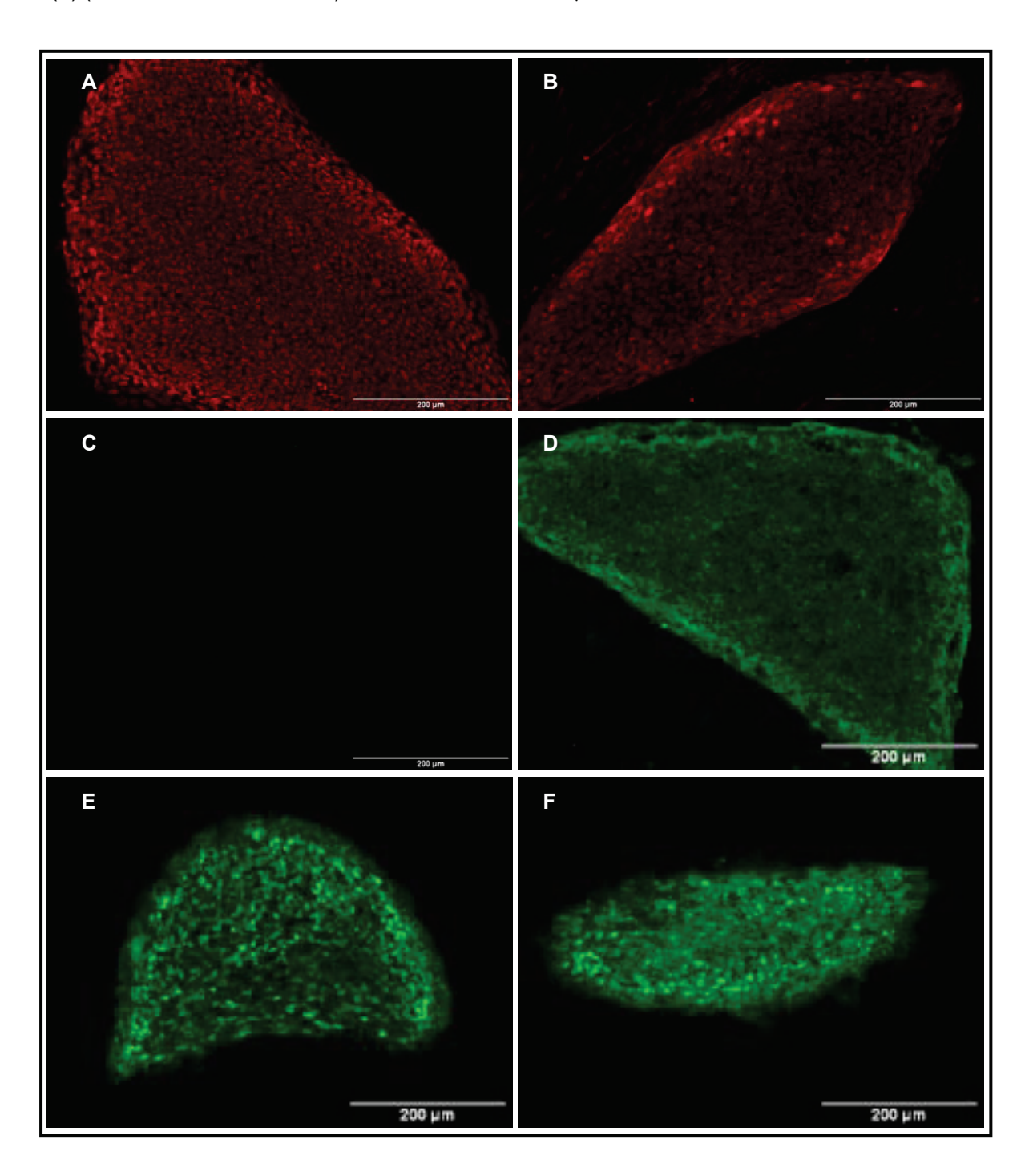




# MARCADORES INDIFERENCIACIÓN DE VAL-10B

## Expresión de antígenos de indiferenciación en VAL-10B

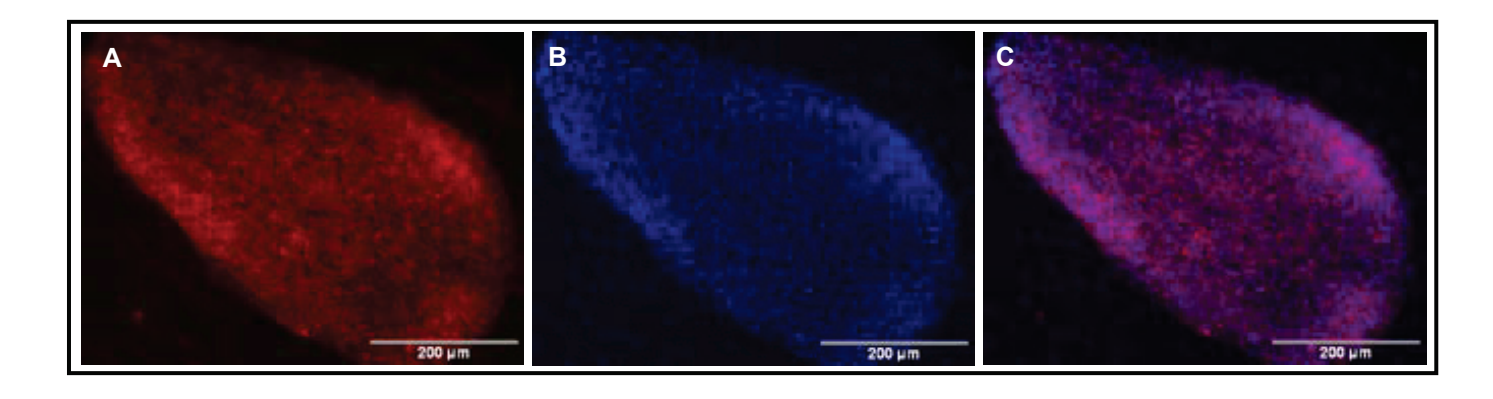
Inmunocitoquímica para OCT-4 (A), Nanog (B) (R&D, Minneapolis, MN), SSEA-1 (C), SSEA-4 (D), Tra-1-60 (E) y Tra-1-81 (F) (Chemicon, Temecula, CA). Barra de escala =  $200 \mu m$ .





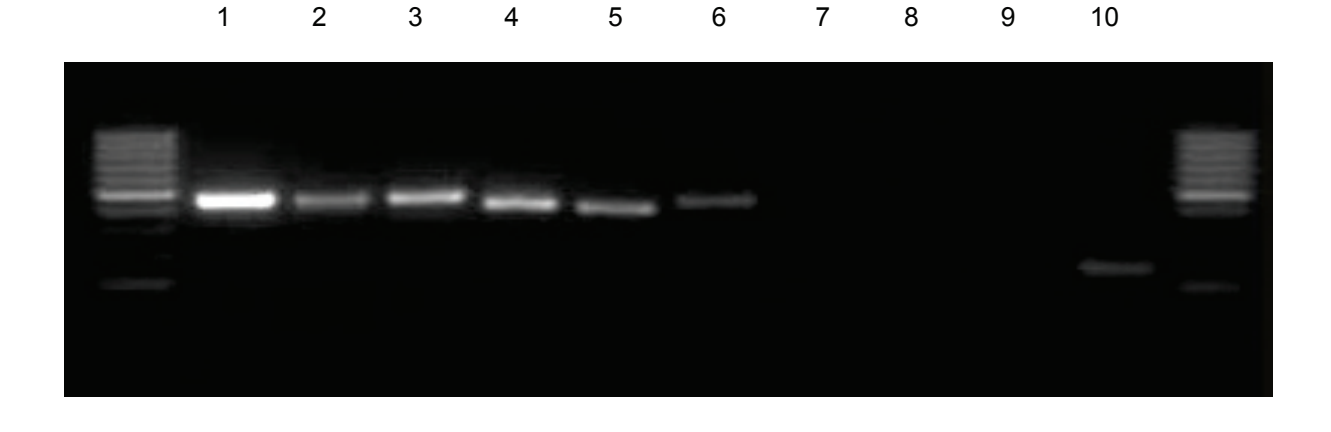
## Ensayos de actividad de fosfatasa alcalina en VAL-10B

Inmunocitoquímica para isoenzima Fosfatasa Alcalina clon TRA 2-54/2J (Chemicon, Temecula, CA) (A); DAPI (B); Fosfatasa Alcalina + DAPI (C). Barra de escala =  $100 \mu m$ .



## Expresión de marcadores moleculares de indiferenciación de VAL-10B

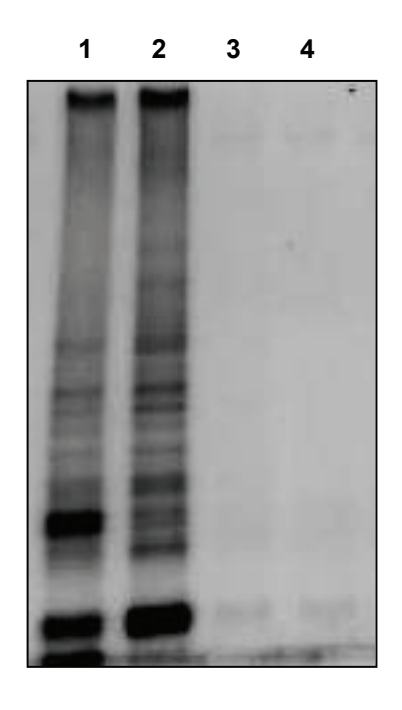
RT-PCR positiva en pase 4 para Oct-3/4 (1), Nanog (2) Cripto (3), Dnmt3 (4), Gabr (5), y Gdf3 (6) y negativa para Nfh (7), Ren (8) y Amy (9). El control interno de expresión utilizado es RPL19 (10).





### Determinación de la existencia de actividad telomerasa en VAL-10B

La detección de la actividad telomerasa característica de células inmortales se ha realizado mediante una reacción de PCR utilizando un kit específico (TRAPEZE <sup>®</sup> Telomerase Detection Kit; Chemicon, Australia) y tinción con SYBR<sup>®</sup> (Molecular probes, USA). Se utilizó otra línea de células madre embrionarias humanas como control positivo (1) mientras que el análisis se realizó sobre células intactas de VAL-10B en pase 4 (2). Como controles negativos, se utilizaron células de la línea control inactivadas por calor (3), y fibroblastos (4).

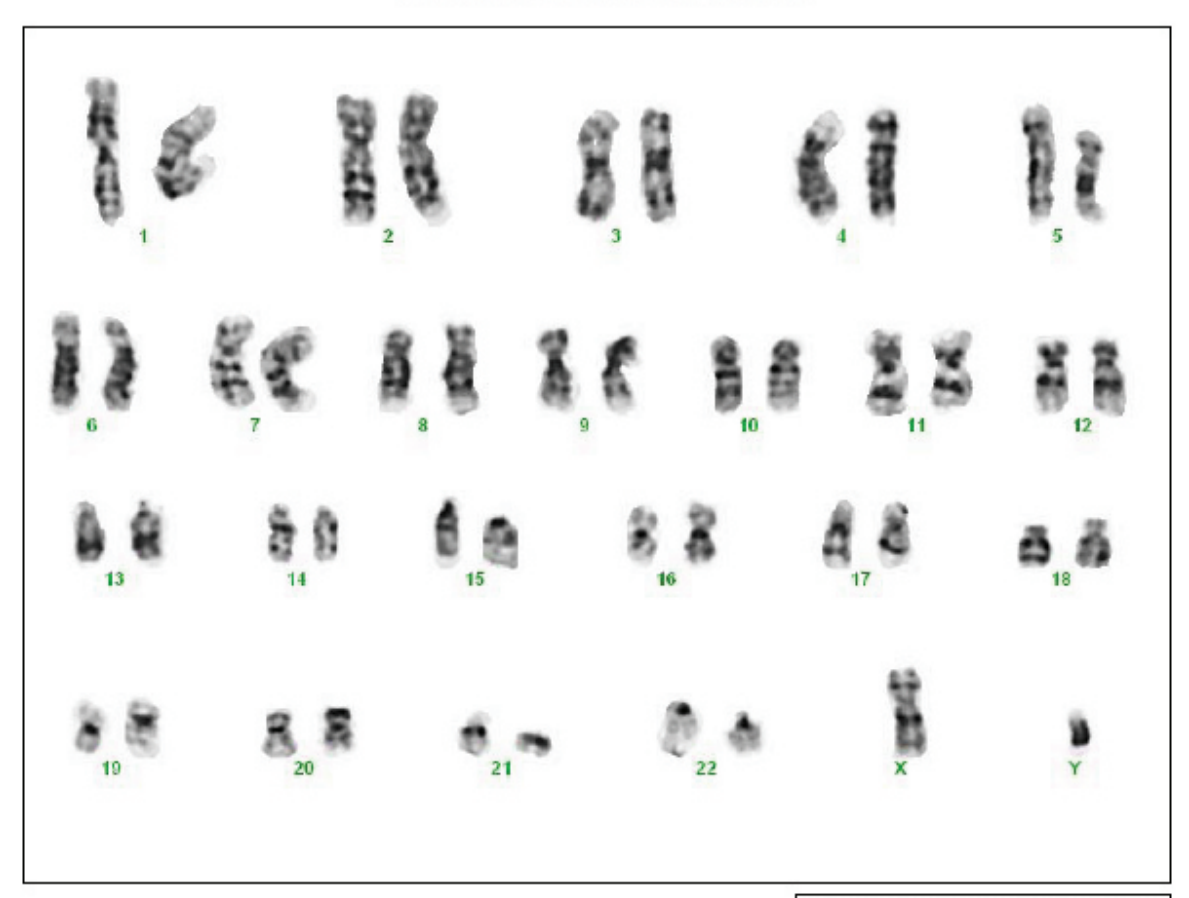




# **ESTUDIO DEL CARIOTIPO DE VAL-10B**

Llevado a cabo en el pase 6, por un laboratorio independiente (IVI Murcia, España).

INFORME CITOGENÉTICO: VAL-10b



Nombre del caso: VAL-10b

Fecha: 20/01/2009

Nombre del Paciente: Pase 6

Tipo de muestra: Células madres



Resultado: 46,XY [15]

El análisis cromosómico de 15 metafases mediante bandas GTG revela un CARIOTIPO MASCULINO NORMAL.

Dra, C Méndez

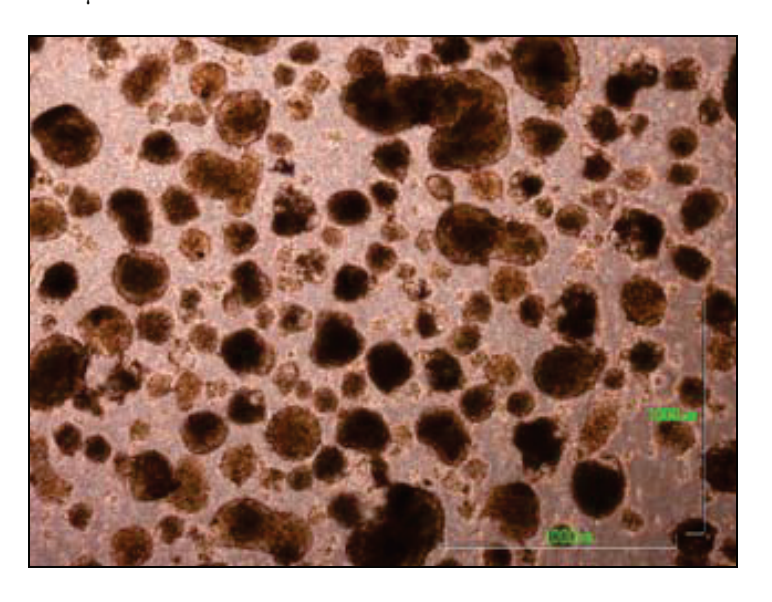
Dra. MC Martinez



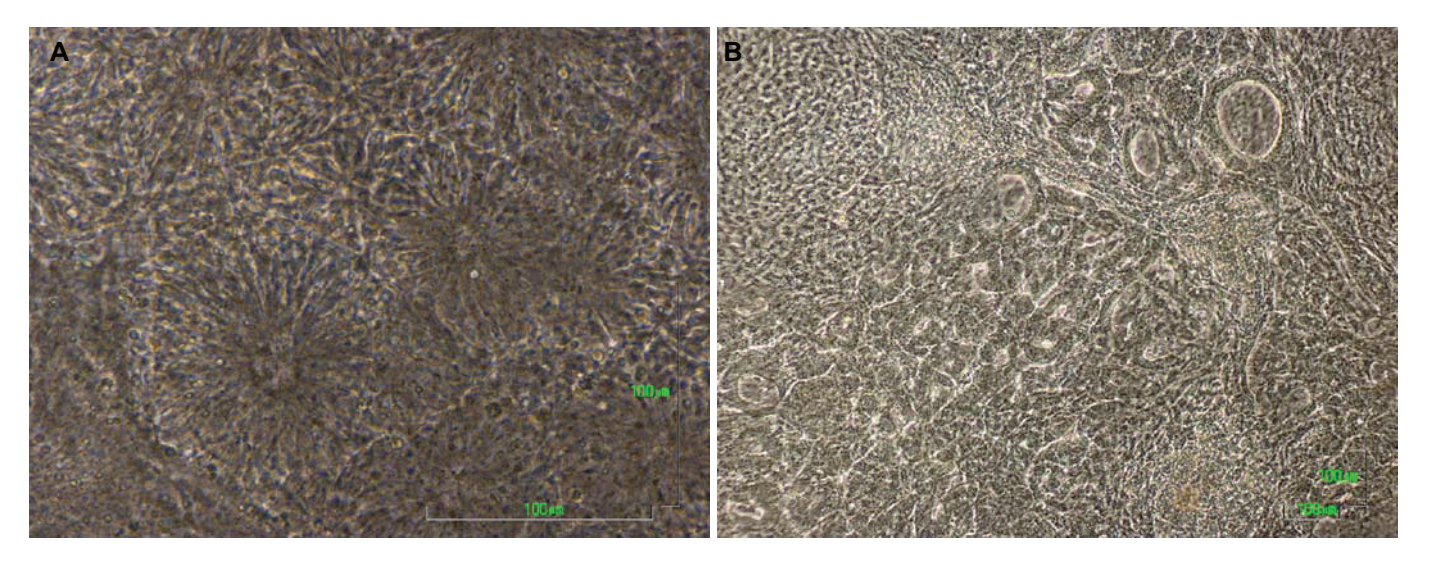
## PLURIPOTENCIALIDAD DE VAL-10B

## Diferenciación espontánea in vitro de VAL-10B

Por flotación, en placas de no adhesión, se generan cuerpos embriodes y se mantienen en esas condiciones entre 4 y 7 días. Barra de escala =  $1000 \mu m$ .

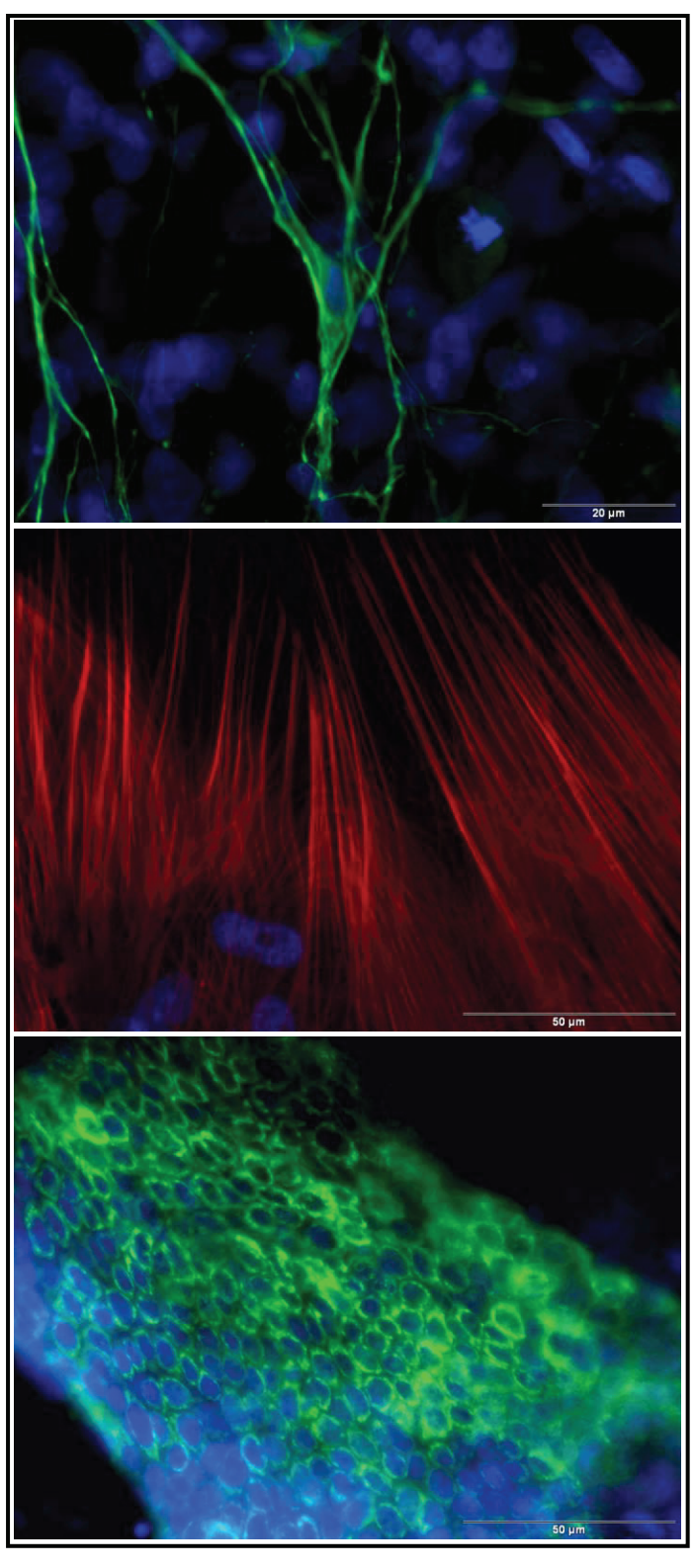


Transcurrido ese tiempo, los cuerpos embrioides se transfieren a placas cubiertas con gelatina 1% para facilitar su adhesión. Durante el cultivo en placa, se obtuvieron diferentes tipos celulares (A) y (B). Barra escala =  $100 \mu m$ .





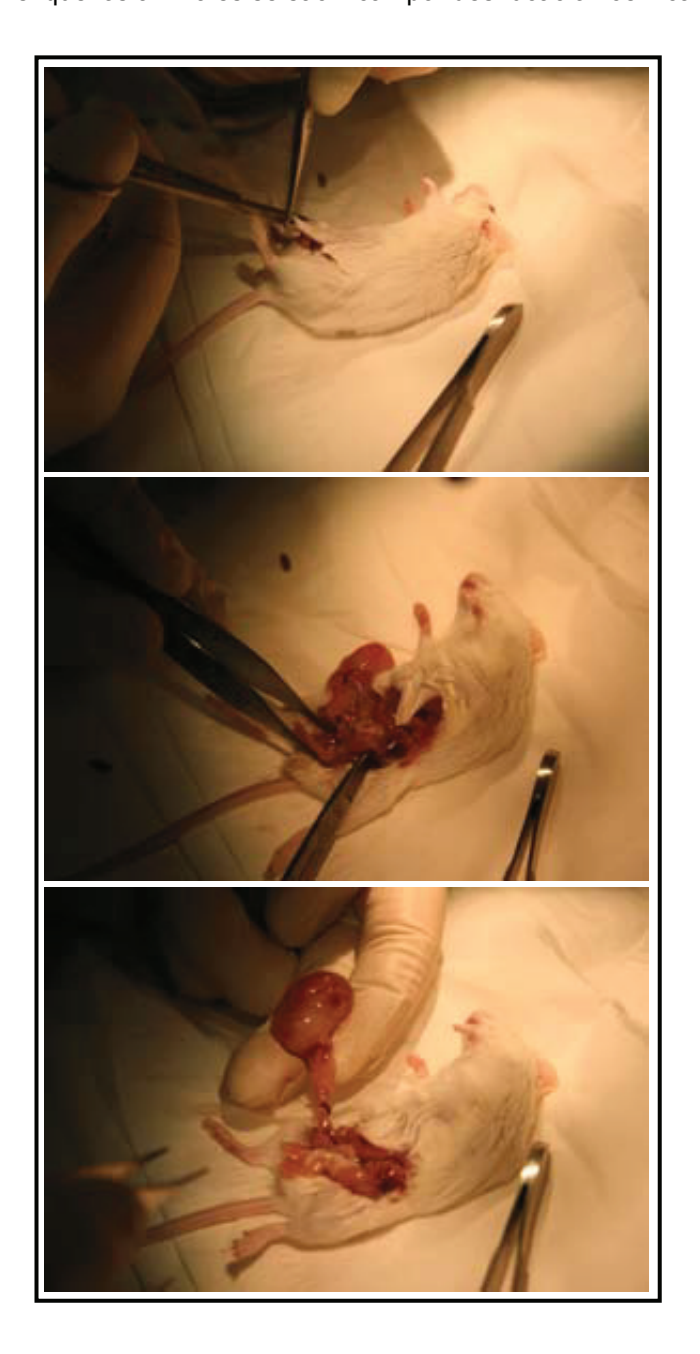
Tras 10-14 días, se fijan y se analizan marcadores de diferenciación característicos de (A) ectodermo (tubulin,  $\beta$ -III), (B) mesodermo (actina muscular) y (C) endodermo ( $\alpha$ -fetoproteína). Barra de escala = 20  $\mu$ m para (A) y y 50  $\mu$ m para (B) y (C).





## Diferenciación espontánea in vivo de VAL-10B

Para desarrollar los experimentos de diferenciación in vivo de las líneas, se utilizan ratones macho de 8 semanas de edad, con inmunodeficiencia severa combinada (SCID). Las colonias de células madre utilizadas se aíslan mecánicamente de la monocapa de feeder. Se inyectan 30 colonias por testículo. La aparición de tumores se puede detectar por palpación transcurridas 8 semanas de la inyección. El desarrollo de los mismos se mantiene durante 2-4 semanas más, momento en el que los animales se sacrifican por desnucación cervical.



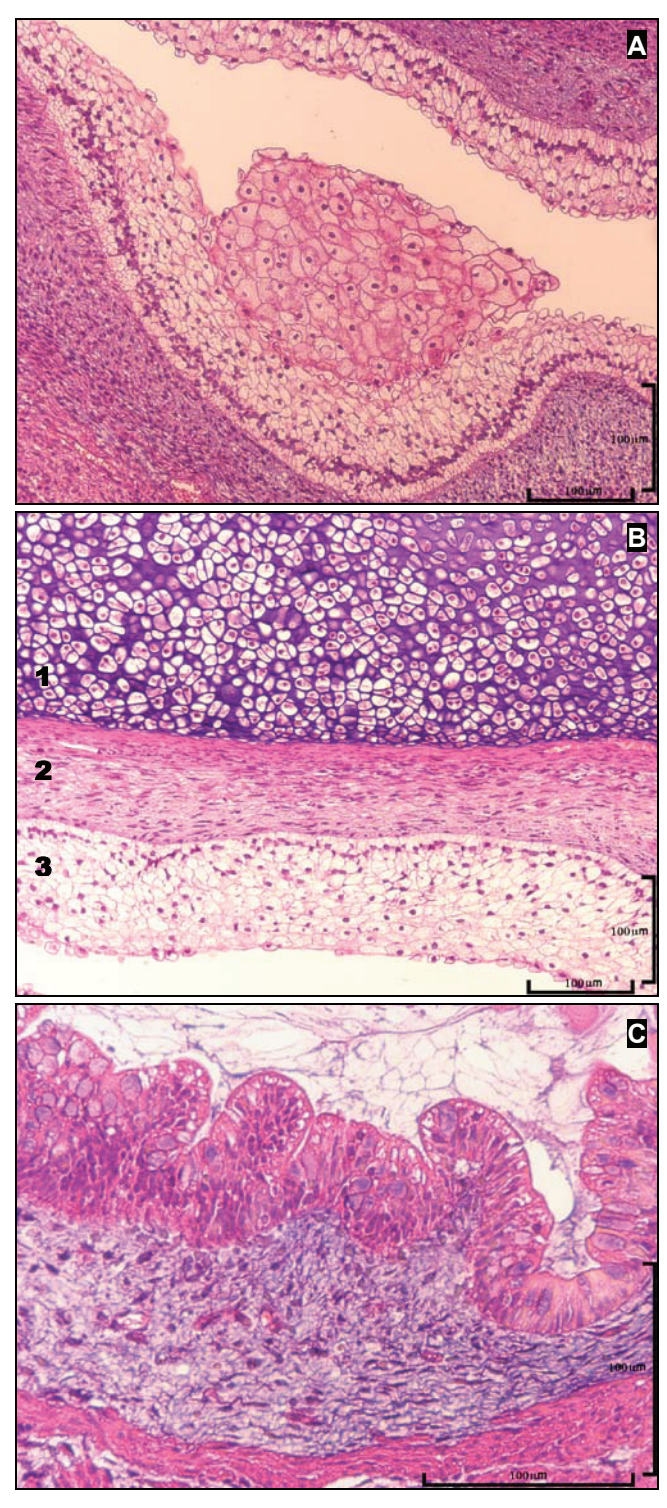


Las muestras son fijadas y enviadas para estudio anatomopatológico por parte de un laboratorio independiente (CITOPAT, S.L.).

el. 96-369.09,20	DIFFORME ANAMOND	was daren			
	INFORME ANATOMOPA	and the second of the	District.		
PACIENTE		F. Nacim	N°,H.C.	F. Toma	and the second of the second
Sr/Sra: PRINCIPE FELIPE	F8			10/03/2009	10/03/2009
Dr/Dra:	Clinica: CIPF				
ÓRGANO: TESTICULO					
DESCRIPCIÓN MACROSO	CÓPICA				
	e 1,3 x 1 cm parcialmente quistico	v de consistenci	a gelatinos	a.	
77TD VAL 10B: Testiculo o	le 2 x 1,5 x 1,5 cm de consistenci				
bloques) 79 VAL 9: Testiculo de 1.5	x 1 cm de aspecto quistico y pare	des lisas traslucid	as con alo	un area	
engrosada.	A 10 10 10 10 10 10 10 10 10 10 10 10 10		won ang	and the second	
	1,5 x 1 cm de aspecto carnoso y h	iemorragico			
DESCRIPCIÓN MICROSO	COPICA				
<u>DIAGNÓSTICO</u>					
77TI VAL10B: TERATOM	A QUISTICO CON PREDOMIN				
77TI VAL10B: TERATOM DIFERENCIACION COND	A QUISTICO CON PREDOMIN RAL Y AISLADAS AREAS EPI				
77TI VAL10B: TERATOM DIFERENCIACION COND GLANDULARES.		TELIALES ESC	AMOSAS	Y	
77TI VALIOB: TERATOM DIFERENCIACION COND GLANDULARES. 77TD VALIOB TERATOM EMBRIONARIAS, PREDO	RAL Y AISLADAS AREAS EPI IA QUISTICO CON DIFERENCI MINIO MESENQUIMAL.	TELIALES ESC IACION DE LAS	AMOSAS TRES HO	Y	
77TI VALIOB: TERATOM DIFERENCIACION COND GLANDULARES. 77TD VALIOB TERATOM EMBRIONARIAS, PREDO 79 VAL 9 TERATOMA QU	RAL Y AISLADAS AREAS EPI LA QUISTICO CON DIFERENCI MINIO MESENQUIMAL. JISTICO CON DIFERENCIACIO	TELIALES ESC IACION DE LAS ON DE LAS TRE	AMOSAS TRES HO S HOJAS	Y DJAS	ON
77TI VAL10B: TERATOM DIFERENCIACION COND GLANDULARES. 77TD VAL10B TERATOM EMBRIONARIAS, PREDO 79 VAL 9 TERATOMA QU EMBRIONARIAS CON AR ALGUN FOCO GLIAL.	PRAL Y AISLADAS AREAS EPI IA QUISTICO CON DIFERENCI MINIO MESENQUIMAL. JISTICO CON DIFERENCIACIO REAS DE EPITELIO DIGESTIVO	TELIALES ESC IACION DE LAS ON DE LAS TRE D, ESCAMOSO	AMOSAS TRES HO S HOJAS	Y DJAS	ON
77TI VAL10B: TERATOM DIFERENCIACION COND GLANDULARES. 77TD VAL10B TERATOM EMBRIONARIAS, PREDO 79 VAL 9 TERATOMA QU EMBRIONARIAS CON AR ALGUN FOCO GLIAL.	RAL Y AISLADAS AREAS EPI LA QUISTICO CON DIFERENCI MINIO MESENQUIMAL. JISTICO CON DIFERENCIACIO	TELIALES ESC IACION DE LAS ON DE LAS TRE D, ESCAMOSO	AMOSAS TRES HO S HOJAS	Y DJAS	ON
77TI VAL10B: TERATOM DIFERENCIACION COND GLANDULARES. 77TD VAL10B TERATOM EMBRIONARIAS, PREDO 79 VAL 9 TERATOMA QU EMBRIONARIAS CON AR ALGUN FOCO GLIAL.	PRAL Y AISLADAS AREAS EPI IA QUISTICO CON DIFERENCI MINIO MESENQUIMAL. JISTICO CON DIFERENCIACIO REAS DE EPITELIO DIGESTIVO	TELIALES ESC IACION DE LAS ON DE LAS TRE D, ESCAMOSO	AMOSAS TRES HO S HOJAS	Y DJAS	ON
77TI VAL10B: TERATOM DIFERENCIACION COND GLANDULARES. 77TD VAL10B TERATOM EMBRIONARIAS, PREDO 79 VAL 9 TERATOMA QU EMBRIONARIAS CON AR ALGUN FOCO GLIAL.	PRAL Y AISLADAS AREAS EPI IA QUISTICO CON DIFERENCI MINIO MESENQUIMAL. JISTICO CON DIFERENCIACIO REAS DE EPITELIO DIGESTIVO	TELIALES ESC IACION DE LAS ON DE LAS TRE D, ESCAMOSO	AMOSAS TRES HO S HOJAS	Y DJAS	ON
77TI VAL10B: TERATOM DIFERENCIACION COND GLANDULARES. 77TD VAL10B TERATOM EMBRIONARIAS, PREDO 79 VAL 9 TERATOMA QU EMBRIONARIAS CON AR ALGUN FOCO GLIAL.	PRAL Y AISLADAS AREAS EPI IA QUISTICO CON DIFERENCI MINIO MESENQUIMAL. JISTICO CON DIFERENCIACIO REAS DE EPITELIO DIGESTIVO	TELIALES ESC IACION DE LAS ON DE LAS TRE D, ESCAMOSO	AMOSAS TRES HO S HOJAS	Y DJAS	ON
77TI VAL10B: TERATOM DIFERENCIACION COND GLANDULARES. 77TD VAL10B TERATOM EMBRIONARIAS, PREDO 79 VAL 9 TERATOMA QU EMBRIONARIAS CON AR ALGUN FOCO GLIAL.	PRAL Y AISLADAS AREAS EPI IA QUISTICO CON DIFERENCI MINIO MESENQUIMAL. JISTICO CON DIFERENCIACIO REAS DE EPITELIO DIGESTIVO	TELIALES ESC IACION DE LAS ON DE LAS TRE D, ESCAMOSO	AMOSAS TRES HO S HOJAS	Y DJAS	ON
77TI VAL10B: TERATOM DIFERENCIACION COND GLANDULARES. 77TD VAL10B TERATOM EMBRIONARIAS, PREDO 79 VAL 9 TERATOMA QU EMBRIONARIAS CON AR ALGUN FOCO GLIAL.	PRAL Y AISLADAS AREAS EPI IA QUISTICO CON DIFERENCI MINIO MESENQUIMAL. JISTICO CON DIFERENCIACIO REAS DE EPITELIO DIGESTIVO	TELIALES ESC IACION DE LAS ON DE LAS TRE D, ESCAMOSO	AMOSAS TRES HO S HOJAS	Y DJAS	ON

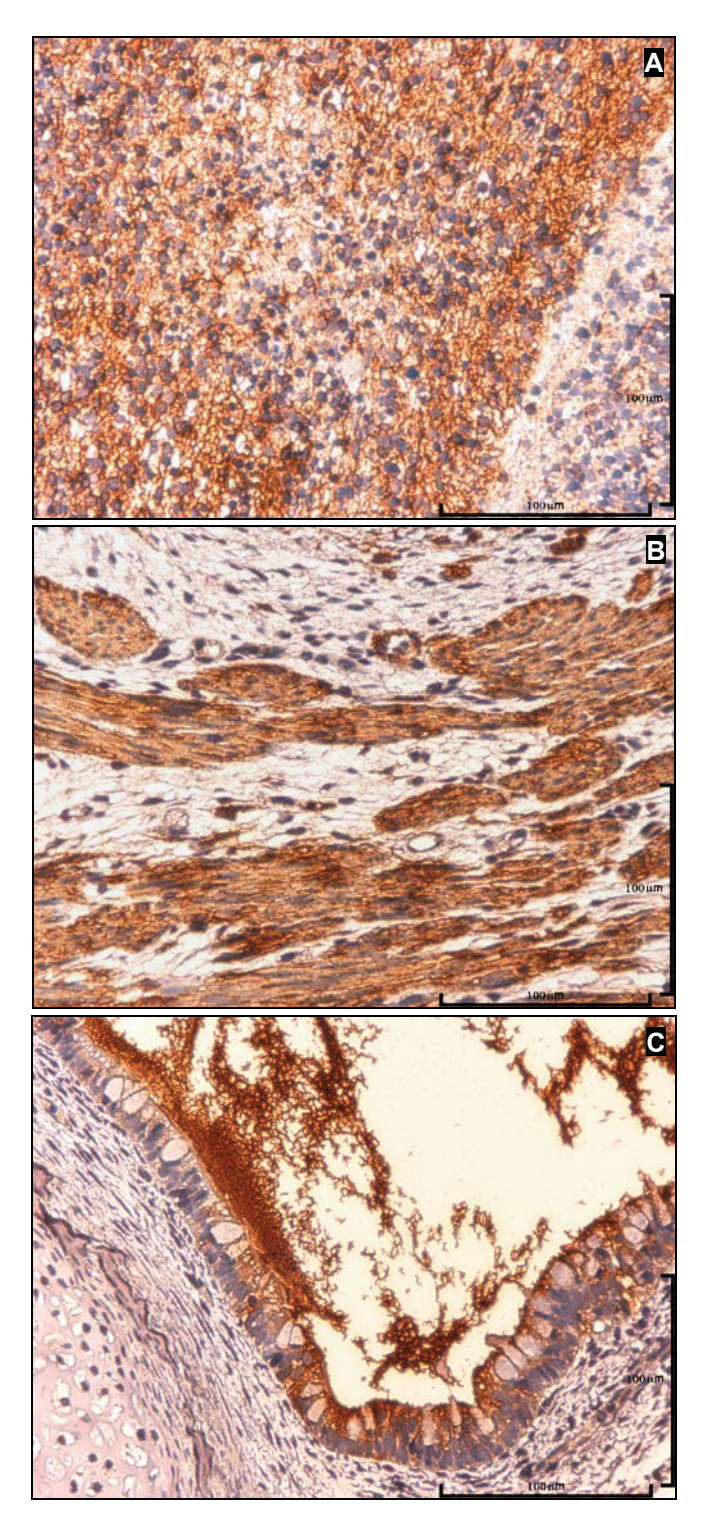


Microscópicamente, la búsqueda se orienta hacia la identificación de tejidos fácilmente distinguibles como (A) epitelio escamoso, (B) nido de condrocitos (1) sobre capa de músculo (2) y epitelio (3), o (C) glándulas. Barra de escala =  $100 \, \mu m$ .



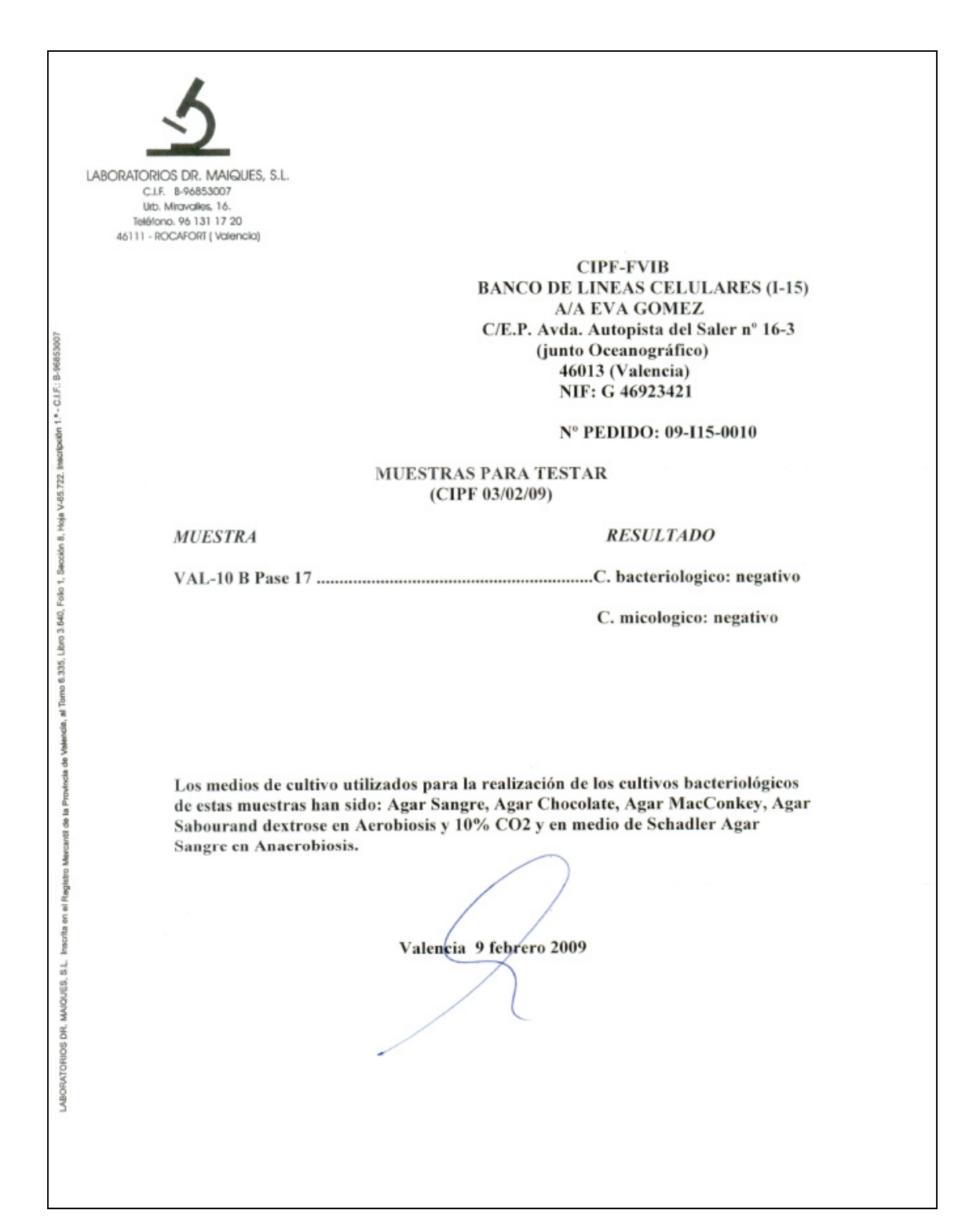


Para confirmar la presencia de derivados de las tres hojas embrionarias, se analizan marcadores de diferenciación característicos de (A) ectodermo (tubulin,  $\beta$ -III), (B) mesodermo (actina muscular) y (C) endodermo ( $\alpha$ -fetoproteína). Barra de escala = 100  $\mu$ m.





# **ANÁLISIS MICROBIOLÓGICOS DE VAL-10B**



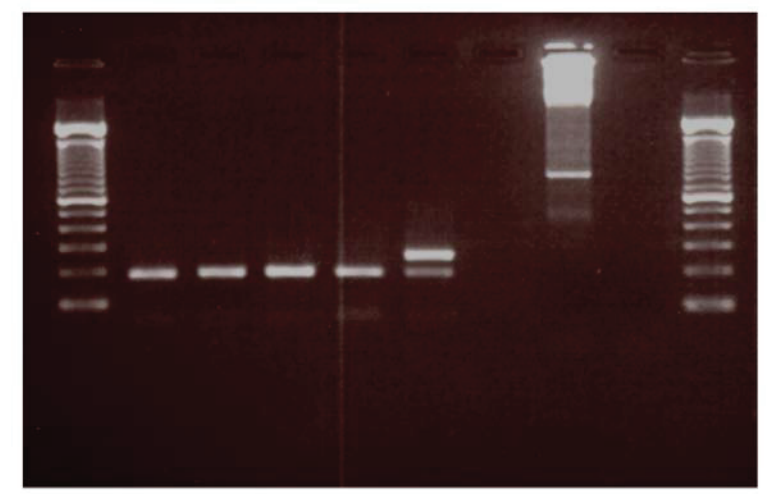


El análisis de Mycoplasma se realizó mediante PCR con **Venor® GeM-Mycoplasma Detection Kit**, el cuál cumple con los prerrequisitos establecidos en la normativa Europea (párrafo 2.6.21) para el test de amplificación de ácidos nucléicos y para el análisis de Mycoplasma (2.6.7 suplemento 5.8).

# Venor®GeM- Mycoplasma Detection Kit

Ref: 11-1050, Minerva Biolabs con *Tag* DNA Polymerase, Recombinant (Ref: 10342-020, Invitrogen)

1 2 3 4 5



- 1.- Foreskin pase 11
- 2.- VAL-9 pase 25
- 3.- VAL-10B pase 20
- 4.- Control negativo
- 5.- Control positivo

20-Feb-2009 17:13:48 Exposure = 1.613 secs

Resultado: todas las muestras testadas son negativas para Mycoplasma





valid since: 11.06.2008 Rev.: 1.5 page 1 of 18

# Validation Report for Venor®GeM Mycoplasma Detection Kit for conventional PCR

### Content:

1	Introd	luction	1	
	1.1	Economic Relevance of Mycoplasma Contamination in Biological Systems	1	
	1.2	Principle of the Venor®GeM Detection Procedure		
	1.3	Relevance of this study		
2		Data of the Study		
	Methods			
	3.1	Sample preparation and storage		
	3.2	Execution of the Venor®GeM Diagnosis by Minerva Biolabs		
	3.3	Analysis of the Test Results		
	3.4	Cell-culture enrichment		
	3.5	General Reference		
4	Result	ts		
	4.1	Repeating Precision of Venor®GeM	6	
	4.2	Cut-off limit		
	4.3	Specificity		
	4.4	Accuracy comparison with commercial PCR test kits	9	
	4.5	Robustness	10	
	4.5	.1 Sample matrix variations	10	
	4.5			
4.5		.3 Investigations to specificity with complex sample matrices	11	
	4.5			
	4.6	Product Stability	13	
	4.7	Comparison to culture method		
	4.8	Matrix variations with the cell-culture enrichment procedure	15	
5	ssion			
6 Declaration				



mineryo \*\*

valid since: 11.06.2008 Rev.: 1.5 page 18 of 18

The high specificity of the Venor®GeM was demonstrated by the investigation of numerous species and sample matrices. With very complex matrices, the detection limit decreases in some cases, however mycoplasma contamination can still be proven unique.

The common culture methods for mycoplasma detection, prescribed by the European dispensatory, detect only vital mycoplasma in comparison to the PCR method. The Venor®GeM system however also detects the DNA of dead mycoplasma. In combination with the cell-culture enrichment method only vital mycoplasma are detected. Free DNA from dead and lyzed mycoplasma are rapidly digested by DNases in cell cultures, so that for the PCR method almost the same situation exists regarding the sample conditions, as with the culture method.

The former two major back draws named limited test volume and sensitivity as well as the inability of discriminating viable from dead mycoplasma can be omitted by the cell-culture enrichment method. This method has already been shown by Kong et al. [2007, Appl. Microbiol. Biotechnol. 77:223-232]. Our work showed almost similar results using the PCR instead of the a PCR/hybridization technique used by Kong et al.

The method worked effectively with a broad range of sample materials, allows a reduction of the test procedure from 28 days down to 5 to 8 days, and can easily be scaled up for testing large sample volumes. Cell-culture enrichment shows also the benefit of a significant reduction of PCR inhibition at the analytical step. None of the sample derived from cell-culture enrichment were inhibiting the PCR. DNA extraction in general is not required and costs drastically reduced.

These investigations demonstrate very good performance parameters for the Venor®GeM Mycoplasma Detections Kits regarding reproducibility, sensitivity and specificity for the confirmation of mycoplasma contamination in biological samples. The test application is fast and simple. The molecular-biological evidence of the pathogen is of an advantage, since the time needed for the investigation of mycoplasma and the expenditure, in the comparison to the culture method, can be strongly reduced. Venor®GeM is suitable by its high sensitivity, particularly for proof of latent mycoplasma contamination in cell cultures as well as a monitoring system for culture setups. Venor®GeM fulfills the prerequisites of a nucleic acid amplification test according to the European dispensatory, paragraph 2.6.21 and for mycoplasma testing according to 2.6.7, supplement 5.8.

#### 6 Declaration

I accept the responsibility for the content of this study and reassure this is a description of the methods employed within the study, and that these results of the process reflect the raw data that was determined.

Berlin - April 18, 2008

Dirk Vollenbroich, Ph.D., CEO

Minerva Biolabs GmbH



## **SOPORTE CELULAR**

Ficha técnica y análisis microbiológicos del Feeder utilizado en la derivación y mantenimiento de las líneas:

